

81

การหาปริมาณไฮโดรเจนโดยการวัดรังสีพร้อมแกมมา พลังงาน 2.223 MeV

จากปฏิกิริยา $^1\text{H} (\text{n}, \gamma) ^2\text{H}$



นายก่อสร้าง สุนทรปกาสิต

วิทยานิพนธ์นี้เป็นส่วนหนึ่งของการศึกษาตามหลักสูตรปริญญาวิศวกรรมศาสตรมหาบัณฑิต

ภาควิชานิวเคลียร์เทคโนโลยี

บัณฑิตวิทยาลัย จุฬาลงกรณ์มหาวิทยาลัย

พ.ศ. 2538

ISBN 974-631-204-9

ลิขสิทธิ์ของบัณฑิตวิทยาลัย จุฬาลงกรณ์มหาวิทยาลัย

๑ ๑๖๑๓๒๖๓๔

DETERMINATION OF HYDROGEN CONTENT BY MEASURING 2.223 MeV
PROMPT GAMMA-RAY FROM ^1H (n, γ) ^2H REACTION

Mr. Kumton Soontonpagasid

A Thesis Submitted in Partial Fulfillment of the Requirement
for the Degree of Master of Engineering

Department of Nuclear Technology

Graduate School

Chulalongkorn University

1995

ISBN 974-631-204-9

หัวขอวิทยานิพนธ์

การหาปริมาณไฮโดรเจนโดยการวัดรังสีฟารอนต์แกมมา

โดย

พลังงาน 2.223 MeV จากปฏิกิริยา $^1\text{H} (\text{n}, \gamma) ^2\text{H}$

ภาควิชา

นายกำธร สุนทรปกาสิต

อาจารย์ที่ปรึกษา

นิวเคลียร์เทคโนโลยี

ผู้ช่วยศาสตราจารย์มเรศร์ จันทน์ชาก



บัญชีติวิทยาลัย จุฬาลงกรณ์มหาวิทยาลัย อนุมัติให้นับวิทยานิพนธ์ฉบับนี้เป็นส่วนหนึ่ง
ของกิจกรรมทางวิชาการ

.....
.....

คณะกรรมการ

(รองศาสตราจารย์ ดร. สันติ ถุงสุวรรณ)

คณะกรรมการสอบวิทยานิพนธ์

.....
.....

ประธานกรรมการ

(ผู้ช่วยศาสตราจารย์ ชยากริต ศิริอุปถัมภ์)

.....
.....

อาจารย์ที่ปรึกษา

(ผู้ช่วยศาสตราจารย์ นเรศร์ จันทน์ชาก)

.....
.....

กรรมการ

(ผู้ช่วยศาสตราจารย์ ศิริวัฒนา บัญช雷วุฒิ)

.....
.....

กรรมการ

(อาจารย์อรรถพร ภัทรสุมันต์)

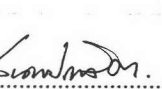
พิมพ์ต้นฉบับบทคดีอวิทยานิพนธ์ภาษาในกรอบสีเขียวนี้เพียงแผ่นเดียว

กำชรา สุนทรปกาลิต : การหาปริมาณไฮโดรเจนโดยการวัดรังสีฟرومต์แคมมาพลังงาน 2.223 MeV จากปฏิกิริยา $^1\text{H}(n,\gamma)^2\text{H}$ (DETERMINATION OF HYDROGEN CONTENT BY MEASURING 2.223 MeV PROMPT GAMMA-RAY FROM $^1\text{H}(n,\gamma)^2\text{H}$ REACTION) อ.ที่ปรึกษา : ผ.ศ.นเรศร์ จันท์ขาว, 90 หน้า ISBN 974-631-207-9

การวิจัยนี้เป็นการทดลองหาปริมาณไฮโดรเจนในตัวอย่างของเหลว โดยการวัดรังสีฟرومต์แคมมาพลังงาน 2.223 เมกะอิเล็กตรอนโวลต์จากไฮโดรเจน นิวตรอนเร็วจากตันกำเนิดรังสีนิวตรอนชนิดอะเมริเชียม-เบรลเลียม ความแรง 3.33 กิกากาเมคเคอร์ล (90 มิลลิครูร์) ถูกห่วงพลังงานโดยใช้กราไฟต์เพื่อหลีกเลี่ยงการรบกวนของไฮโดรเจนจากตัวหน่วยนิวตรอนที่เป็นสารประกอบไฮโดรเจน โดยมีหัววัดรังสีไฮเดียมไอโอดีด (หัลลีเอียม) ขนาด 5 นิ้ว X 5 นิ้ว สำหรับวัดรังสีแคมมา ได้ทำการศึกษาผลของตัวแหน่งตันกำเนิดรังสี ตำแหน่งของหัววัดรังสี ปริมาตรของตัวอย่าง และขนาดของภาชนะใส่ตัวอย่าง ต่อความเสี่ยงรังสีแคมมา ตัวอย่างของเหลวที่นำมาทดสอบในการวิจัยนี้ เช่น น้ำชนิดหนัก ไฮโดรเจนเปอร์ออกไซด์ สารละลายเอมไโนเนีย และน้ำมันพาราfin ขึ้นจำกัดในการวัดปริมาณไฮโดรเจนในน้ำชนิดหนักและไฮโดรเจนเปอร์ออกไซด์ มีค่าเท่ากัน ร้อยละ 0.383 และ 0.234 โดยไม่ลด ตามลำดับ สำหรับเวลาในการนับรังสี 5000 วินาที นอกจากนี้ได้ทดลองวัดรังสีฟرومต์แคมมาจากตัวอย่างถ่านหินที่บดแล้ว จำนวน 3 ตัวอย่าง ซึ่งมีปริมาณไฮโดรเจนประมาณร้อยละ 6 โดยน้ำหนัก และพบว่าสามารถเห็นพิรังสีแคมมาพลังงาน 2.223 เมกะอิเล็กตรอนโวลต์ได้ชัดเจนภายหลังการหักกลับเบคกราวด์ออกแล้ว ผลการวิจัยแสดงให้เห็นถึงความเป็นไปได้ในการใช้วิธีนี้สำหรับการหาปริมาณไฮโดรเจนในสารประกอบไฮโดรเจนโดยไม่ทำลายตัวอย่าง และให้ผลได้รวดเร็ว



ภาควิชา นิวเคลียร์เทคโนโลยี
สาขาวิชา นิวเคลียร์เทคโนโลยี
ปีการศึกษา 2537

ลายมือชื่อนิสิต 
ลายมือชื่ออาจารย์ที่ปรึกษา 
ลายมือชื่ออาจารย์ที่ปรึกษาร่วม 二

C518122 : MAJOR NUCLEAR TECHNOLOGY

KEY WORD: GRAPHITE MODERATOR/ HYDROGEN/ NEUTRON CAPTURE/PROMPT GAMMA-RAY

KAMTON SOONTONPAGASID : DETERMINATION OF HYDROGEN CONTENT BY
MEASURING 2.223 MeV PROMPT GAMMA-RAY FROM $^1\text{H}(n,\gamma)^2\text{H}$ REACTION.

THESIS ADVISOR : ASST. PROF. NARES CHANKOW, M. Eng. 90 pp.

ISBN 974-631-207-9

A method for determining hydrogen content in liquid samples by measurement of 2.223 MeV prompt captured gamma-rays from hydrogen was investigated. Fast neutrons from a 3.33 GBq (90 mCi) $^{241}\text{Am}/\text{Be}$ neutron source were moderated by using graphite so as to avoid interference from hydrogen in hydrogeneous moderator. A 5 in. X 5 in. NaI(Tl) scintillation detector was used to detect the gamma-rays. The effect of the source position, the detector position, the sample volume and the size of the sample container on the gamma-ray intensity was also investigated. The liquid samples such as heavy water, hydrogen peroxide, ammonia solution and paraffin oil were used for testing in this research. The detection limits of hydrogen content in heavy water and hydrogen peroxide for 5000 second counting time were found to be 0.518 and 0.343 % by mole respectively. Furthermore, the method was also applied to 3 ground coal samples with total hydrogen content of about 6 % by weight. The 2.223 MeV gamma-ray peak was clearly seen after background subtraction. The results indicated the possible use of this method for nondestructive and rapid determination of hydrogen content in hydrogen hydrogeneous materials.



ภาควิชา.....นิวเคลียร์เทคโนโลยี.....

ลายมือชื่อนิสิต.....*Rin Somsak*.....

สาขาวิชา.....นิวเคลียร์เทคโนโลยี.....

ลายมือชื่ออาจารย์ที่ปรึกษา.....*professor*.....

ปีการศึกษา.....2537.....

ลายมือชื่ออาจารย์ที่ปรึกษาร่วม.....



กิตติกรรมประกาศ

วิทยานิพนธ์ฉบับนี้ ได้สำเร็จลุล่วงไปได้ด้วยความช่วยเหลือ และการสนับสนุนของ
ผู้ช่วยศาสตราจารย์ นเรศร์ จันท์ชัว ขอขอบพระคุณอย่างสูงที่กรุณาให้คำแนะนำ ปรึกษา และ^๙
ตรวจสอบรายงานการวิจัยจนเสร็จสมบูรณ์

ขอขอบคุณ ผู้ช่วยศาสตราจารย์ สุวิทย์ ปุณณชัยยะ และคุณบัญชา อุนพานิช ที่กรุณาให้
คำแนะนำปรึกษาเกี่ยวกับการต่ออุปกรณ์อิเล็กทรอนิกส์ ซึ่งใช้ในการวิจัยครั้งนี้

ขอขอบคุณ คุณอุทิศ ทองกลิ่ง ภาควิชาวิศวกรรมเหมืองแร่ จุฬาลงกรณ์มหาวิทยาลัย ที่ให้
ความอนุเคราะห์เกี่ยวกับเครื่องบดตัวอย่าง และเครื่องสูบน้ำตัวอย่าง

ขอขอบคุณบัณฑิตวิทยาลัย จุฬาลงกรณ์มหาวิทยาลัย ที่ให้ทุนอุดหนุนในการทำวิจัยครั้งนี้

ขอขอบคุณ พ. ฯ และน้อง ฯ ที่ให้ความช่วยเหลือในด้านต่าง ๆ สำหรับงานวิจัยครั้งนี้

ท้ายนี้ขอกราบขอบพระคุณอย่างสูงยิ่งต่อ บิดา มารดา ผู้ซึ่งให้ความเมตตา กรุณา เป็นกำลังใจ
ให้การศึกษาครั้งนี้สำเร็จลุล่วงลงได้ด้วยดี



สารบัญ

๘

	หน้า
บทคัดย่อภาษาไทย	๑
บทคัดย่อภาษาอังกฤษ	๑
กิตติกรรมประกาศ	๙
สารบัญ	๙
สารบัญตาราง	๙
สารบัญภาพ	๙

บทที่ ๑ บทนำ

ความเป็นมาของปัญหา	๑
วัตถุประสงค์	๒
ขอบเขตการวิจัย	๒
ขั้นตอนการวิจัย	๒
ประโยชน์ที่คาดว่าจะได้รับ	๓
สถานที่ทำการวิจัย	๓
การสำรวจงานวิจัยอื่น ๆ ที่เกี่ยวข้อง ซึ่งได้กระทำมาแล้ว	๓

บทที่ ๒ ทฤษฎี

การวิเคราะห์ธาตุด้วยเทคนิคพร้อมตัวแปรมาแอกติเวชัน	๑๒
ต้นกำเนิดนิวตรอน	๑๓
พลังงานของนิวตรอน	๑๖
ปฏิกิริยานิวเคลียร์ของนิวตรอน	๑๗

สารบัญ (ต่อ)

	หน้า
บทที่ 2 (ต่อ)	
การเกิดไอโซโทปกัมมันตรังสีและการสลายตัวของไอโซโทปกัมมันตรังสี	23
ภาคตัดขวาง	26
อันตรกิริยาของรังสีแกรมนาับสสาร	29
อุปกรณ์การวัดรังสีแกรมนา	35
เทคนิคการวิเคราะห์ด้วยวิธีนิวตรอนแคปเจอร์พร้อมต์แกรมนาแยกตัวชัน	37
บทที่ 3 วัสดุ อุปกรณ์ และวิธีดำเนินการวิจัย	
วัสดุอุปกรณ์ที่ใช้ในงานวิจัย	41
วิธีดำเนินงานวิจัย	44
ศึกษาปัจจัยที่มีผลต่อความเข้มของรังสีพร้อมต์แกรมนาของไฮโคลเจน	
และแบคกราวด์	46
การสร้างกราฟปรับเทียบและการทดลองหาปริมาณไฮโคลเจนในสารตัวอย่าง	50
บทที่ 4 ผลการวิจัย และวิจารณ์ผลการทดลอง	
ผลการศึกษาขนาดภาชนะที่ใช้ในการบรรจุตัวอย่าง	52
ผลการศึกษาตำแหน่งในการวางต้นกำเนิดรังสีนิวตรอน	54
ผลการศึกษาตำแหน่งในการวางหัววัดรังสี NaI(Tl)	58
ผลการศึกษาปริมาตรของตัวอย่าง	60
ผลการศึกษาทดสอบปริมาณไฮโคลเจนในน้ำ	64
ผลการศึกษาการวัดรังสีพร้อมต์แกรมนาของไฮโคลเจนที่ความเข้มข้นต่างๆ ของน้ำซึ่นิดหนัก	65

สารบัญ (ต่อ)

	หน้า
บทที่ ๔ (ต่อ)	
ผลการศึกษาการวัดรังสีพารอมต์แกรมมากของไฮโดรเจนที่ความเข้มข้นต่างๆ ของไฮโดรเจนเปอร์ออกไซด์	68
ผลการศึกษาการวัดรังสีพารอมต์แกรมมากของไฮโดรเจนในตัวอย่างต่างๆ	71
ผลการศึกษาการวัดรังสีพารอมต์แกรมมากของไฮโดรเจนในถ่านหิน การหาค่าชีดจำถักของภารวิเคราะห์	72
	73
บทที่ ๕ บทสรุป วิจารณ์ และขอเสนอแนะ	
สรุปและวิจารณ์ผลการวิจัย	76
ขอเสนอแนะ	77
รายการอ้างอิง	79
ภาคผนวก	82
ประวัติผู้เขียน	90

สารบัญตาราง

ตารางที่		หน้า
1.1	แสดงค่าความคลาดเคลื่อนในการวิเคราะห์	10
2.1	แสดงต้นกำเนิดนิวตรอนแบบ α -emitter source	14
2.2	แสดงต้นกำเนิดนิวตรอนแบบ Photonuclear sources	15
2.3	ปฏิกิริยาผลิตนิวตรอนของเครื่องเร่งอนุภาค	16
2.4	คุณสมบัติของธาตุในการลดพลังงานของนิวตรอน	20
4.1	ความเข้มของรังสีพร้อมตัวแปรมากของไฮโตรเจนกับภาระขนาดต่างๆ	52
4.2	ความเข้มของรังสีพร้อมตัวแปรมากของไฮโตรเจน ณ ตำแหน่งต่างๆ ในการต้นกำเนิดรังสีนิวตรอน	55
4.3	ความเข้มของรังสีพร้อมตัวแปรมากของไฮโตรเจน ณ ตำแหน่งต่างๆ ในการวางแผนรังสี	58
4.4	ความเข้มของรังสีพร้อมตัวแปรมากของไฮโตรเจน ที่ปริมาตรต่างๆ ของตัวอย่าง	61
4.5	ความเข้มของรังสีพร้อมตัวแปรมากของไฮโตรเจน ที่วัดได้จากน้ำ	64
4.6	ความเข้มของรังสีพร้อมตัวแปรมากของไฮโตรเจน ที่ความเข้มข้นต่างๆ ของ น้ำชนิดหนัก	65
4.7	ความเข้มของรังสีพร้อมตัวแปรมากของไฮโตรเจน ที่ความเข้มข้นต่างๆ ของ ไฮโตรเจนเปอร์ออกไซด์	69
4.8	ความเข้มของรังสีพร้อมตัวแปรมากของไฮโตรเจน ของตัวอย่างที่มีเปอร์เซ็นต์ ไฮโตรเจนต่างๆ	72
4.9	ความเข้มของรังสีพร้อมตัวแปรมากของไฮโตรเจน ของถ่านหินที่มีเปอร์เซ็นต์ ไฮโตรเจนต่างๆ	73

สารบัญภาพ

รูปที่		หน้า
1.1	แผนผังอุปกรณ์วัดความชื้นและปริมาณไฮโดรเจนในตัวอย่างขนาดเล็ก ของ Wada (1974)	4
1.2	แผนผังอุปกรณ์วัดปริมาณไฮโดรเจนในตัวอย่างขนาดเล็ก ที่ใช้ในงานวิจัย ของ Wada (1976)	5
1.3	แผนผังอุปกรณ์หาปริมาณไฮโดรเจนในตัวอย่างขนาดเล็ก ที่ใช้ในงานวิจัย ของ Wada (1978)	6
1.4	แผนผังการจัดอุปกรณ์วัดปริมาณ H_2SO_4 โดยวิจัยการหน่วงพลังงาน และ ^{การกระเจิงกลับของนิวตรอนพลังงานปานกลาง} ของ Ciechanowski et al.	7
1.5	แผนผังอุปกรณ์หาปริมาณน้ำชีวนิคหนักที่ใช้ในงานวิจัยของ Wada (1988)	8
1.6	แผนผังการวัดปริมาณของธาตุต่าง ๆ ด้วยวิธีนิวตรอนพร้อมตัวกรองแม่เหล็ก แยกตัวเร้น ที่ใช้ในงานวิจัยของ Yuren et al. (1994)	9
2.1	แสดงภาคตัดขวางรวมต่ออะตอมไฮโดรเจนของน้ำสำหรับพลังงานของ นิวตรอน ในช่วง 0.002 ถึง 100 eV	28
2.2	แสดงภาคตัดขวงรวมของนิวตรอนสำหรับไฮโดรเจนในช่วง 0.01 ถึง 100 MeV	28
2.3	แสดงภาคตัดขวงรวมของวัสดุคลอกลืนนิวตรอนบางชนิด ที่พลังงานต่าง ๆ ของนิวตรอน	29
2.4	แสดงกระบวนการเกิดไฟโตอิเล็กทริกเօฟเฟคท์	30
2.5	แสดงสเปกตรัมที่วัดได้จากกระบวนการเกิดไฟโตอิเล็กทริกเօฟเฟคท์	31
2.6	แสดงกระบวนการเกิดการกระเจิงคอมปิตัน	33
2.7	แสดงสเปกตรัมของรังสีแกรมมาที่วัดได้จากกระบวนการเกิด การกระเจิงคอมปิตัน	33
2.8	แสดงกระบวนการเกิดอิเล็กตรอนคู่ และปราภภารณ์ Annihilation	34

รูปที่		หน้า
2.9	แสดงสเปกตรัมของรังสีแกรมมาที่วัดได้ จากกระบวนการเกิดอิเล็กตรอนคู่	34
2.10	รูปภาพแสดงอุปกรณ์ต่าง ๆ ของระบบวัดรังสีแกรมma	36
2.11	แสดงลักษณะของหัววัดรังสีชนิดผลลัพธ์ (ทัลเลียม) พร้อมหลอดทวีคูณอิเล็กตรอน	36
3.1	ภายนอกต่าง ๆ ส້าหรับใส่ตัวอย่าง ทำด้วย สเตนเลส สตีล	43
3.2 (ก)	MCA Card ของ Nuclear Data รุ่น ND-NSIC 50-1327-01	43
3.2 (ข)	เครื่องไมโครคอมพิวเตอร์ พร้อมโปรแกรมสำเร็จรูปในการวิเคราะห์	43
3.3	แสดงส่วนประกอบต่าง ๆ ของระบบอبارังสีนิวตรอน	44
3.4	แสดงส่วนประกอบต่าง ๆ ของระบบที่ใช้ในการวิเคราะห์ไฮโตรเจน โดยวิธีวัดรังสีพร้อมต์แกรมma	44
3.5	แผนผังการจัดระบบวัดรังสีพร้อมต์แกรมma	45
3.6	ระบบอبارังสีนิวตรอนในระยะที่เริ่มศึกษาวิจัย	46
3.7	แผนภาพแสดงระบบอبارังสีนิวตรอนส້าหรับภายนอกต่าง ๆ	47
3.8	แผนภาพแสดงตัวແນ່ງຂອງตັນກຳເນີດຮັງສືນິວຽກ	48
3.9	แผนภาพแสดงการเปลี่ยนตัวແນ່ງຫัววัดรังสีแกรมma NaI(Tl)	49
3.10	แผนภาพแสดงระบบอبارังสีนิวตรอนและระบบวัดรังสีแกรมmaที่ใช้ในงานวิจัย	50
4.1	สเปกตรัมของรังสีพร้อมต์แกรมมากของไฮโตรเจนส້าหรับภายนอก 4 นິ້ວ X 5 นິ້ວ	53
4.2	สเปกตรัมของรังสีพร้อมต์แกรมมากของไฮโตรเจนส້าหรับภายนอก 5 นິ້ວ X 6 นິ້ວ	53
4.3	สเปกตรัมของรังสีพร้อมต์แกรมมากของไฮโตรเจนส້าหรับภายนอก 7.5 นິ້ວ X 8.5 นິ້ວ	54
4.4	สเปกตรัมของรังสีพร้อมต์แกรมมากของไฮโตรเจน จากการวางตັນກຳເນີດຮັງສື นິວຽກທີ່ຮະຍະ 11 ເຊັ່ນຕິເມຕຣ	55
4.5	สเปกตรัมของรังสีพร้อมต์แกรมมากของไฮໂໂຣຈັນ ຈາກການວາງຕັນກຳເນີດຮັງສື ນິວຽກທີ່ຮະຍະ 13 ເຊັ່ນຕິເມຕຣ	56

รูปที่		หน้า
4.6	สเปกตรัมของรังสีพรมต์แกรมมากองไอกอเรเจน จากการวัดต้นกำเนิดรังสี นิวตรอนที่ระดับ 16 เซ็นติเมตร	56
4.7	สเปกตรัมของรังสีพรมต์แกรมมากองไอกอเรเจน จากการวัดต้นกำเนิดรังสี นิวตรอนที่ระดับ 18 เซ็นติเมตร	57
4.8	สเปกตรัมของรังสีพรมต์แกรมมากองไอกอเรเจน จากการวัดต้นกำเนิดรังสี นิวตรอนที่ระดับ 21 เซ็นติเมตร	57
4.9	สเปกตรัมของรังสีพรมต์แกรมมากองไอกอเรเจน จากการวัดหัววัดรังสี ที่ระดับ 0 เซ็นติเมตร	59
4.10	สเปกตรัมของรังสีพรมต์แกรมมากองไอกอเรเจน จากการวัดหัววัดรังสี ที่ระดับ 2 เซ็นติเมตร	59
4.11	สเปกตรัมของรังสีพรมต์แกรมมากองไอกอเรเจน จากการวัดหัววัดรังสี ที่ระดับ 4 เซ็นติเมตร	60
4.12	สเปกตรัมของรังสีพรมต์แกรมมากองไอกอเรเจน ที่ปริมาตร 500 มิลลิลิตร ของตัวอย่าง	61
4.13	สเปกตรัมของรังสีพรมต์แกรมมากองไอกอเรเจน ที่ปริมาตร 800 มิลลิลิตร ของตัวอย่าง	62
4.14	สเปกตรัมของรังสีพรมต์แกรมมากองไอกอเรเจน ที่ปริมาตร 950 มิลลิลิตร ของตัวอย่าง	62
4.15	สเปกตรัมของรังสีพรมต์แกรมมากองไอกอเรเจน ที่ปริมาตร 1000 มิลลิลิตร ของตัวอย่าง	63
4.16	สเปกตรัมของรังสีพรมต์แกรมมากองไอกอเรเจน ที่ปริมาตร 1130 มิลลิลิตร ของตัวอย่าง	63
4.17	สเปกตรัมของรังสีพรมต์แกรมมากองไอกอเรเจน ที่วัดได้จากน้ำ ปริมาตร 1000 มิลลิลิตร	64
4.18	สเปกตรัมของรังสีพรมต์แกรมมากองไอกอเรเจน ชองน้ำชนิดหนัก ที่ความเข้มข้น 0.015 %	66

รูปที่		หน้า
4.19	สเปกตรัมของรังสีพารอมต์แกรมมากองไฮโตรเจน ของน้ำชีวนิคหนัก ที่ความเข้มข้น 5 %	66
4.20	สเปกตรัมของรังสีพารอมต์แกรมมากองไฮโตรเจน ของน้ำชีวนิคหนัก ที่ความเข้มข้น 10.0 %	67
4.21	สเปกตรัมของรังสีพารอมต์แกรมมากองไฮโตรเจน ของน้ำชีวนิคหนัก ที่ความเข้มข้น 15.75 %	67
4.22	กราฟปรับเทียบความสัมพันธ์ระหว่างความเข้มของรังสีพารอมต์แกรมมาสุทธิ และ ¹ เปอร์เซ็นต์ไฮโตรเจนในน้ำชีวนิคหนักที่ความเข้มข้นต่างๆ ที่ปริมาตรตัวอย่าง 1000 มิลลิลิตร	68
4.23	สเปกตรัมของรังสีพารอมต์แกรมมากองไฮโตรเจน ของไฮโตรเจนเปอร์ออกไซด์ ที่ความเข้มข้น 15 %	69
4.24	สเปกตรัมของรังสีพารอมต์แกรมมากองไฮโตรเจน ของไฮโตรเจนเปอร์ออกไซด์ ที่ความเข้มข้น 25 %	70
4.25	สเปกตรัมของรังสีพารอมต์แกรมมากองไฮโตรเจน ของไฮโตรเจนเปอร์ออกไซด์ ที่ความเข้มข้น 35 %	70
4.26	กราฟปรับเทียบความสัมพันธ์ระหว่างความเข้มของรังสีพารอมต์แกรมมาสุทธิ และ ¹ เปอร์เซ็นต์ไฮโตรเจนในสารละลายไฮโตรเจนเปอร์ออกไซด์ที่ความเข้มข้นต่างๆ ที่ปริมาตร 1000 มิลลิลิตร	71